

مقاله علمی-پژوهشی

بررسی توزیع تنش برشی بستر در کanal‌های مرکب مستقیم با استفاده از شبیه‌سازی عددی و مقایسه نتایج Flow-3D و Ansys Fluent

آرمین بوستانی^۱، سعید رضا خداشناس^{۲*}، کاظم اسماعیلی^۳

تاریخ دریافت: ۱۴۰۱/۱۰/۰۷ تاریخ پذیرش: ۱۴۰۱/۱۱/۲۱

چکیده

تمایز اصلی مقاطع مرکب با مقاطع ساده در کanal‌ها به دلیل اختلاف سرعت بین سیالابدشت و کanal اصلی می‌باشد. این تغییر سرعت، در نهایت موجب تغییرات در توزیع تنش برشی بستر کanal می‌گردد. ساختار آشفتگی جریان در کanal‌های مرکب به دلیل ترکیب تنش برشی مرزی و تنش رینولز در نزدیکی فصل مشترک سیالابدشت و کanal اصلی، پیچیده است. با توجه به آنکه هیدرولیک جریان در رودخانه‌ها که نوعی کanal مرکب به حساب می‌آیند، تابع شکل آن‌ها می‌باشد و تغییرات شکل کanal تابع تنش برشی وارد بسته است، تعیین توزیع تنش برشی بستر در رودخانه‌ها نیز از اهمیت زیادی برخوردار است. در این تحقیق، توزیع تنش برشی مرزی در کanal‌های مرکب با ۲ مدل عددی نرم‌افزارهای Flow-3D و Fluent و شبیه‌سازی گردیده و با داده‌های آزمایشگاهی واقعی (والینگفورد انگلستان) مقایسه شده‌اند، همچنین مقایسه‌ای بین نتایج خروجی توزیع تنش برشی در مقطع مرکب بر مبنای روش YLM نیز صورت گرفته است. برای صحبت‌سنگی نتایج شبیه‌سازی از ۳ روش تعیین هم‌گرایی (پارامترخطا) با نتایج تجربی استفاده شده است. بررسی نتایج نشان داد که تطابق بسیار خوبی بین نتایج مدل‌های عددی و با داده‌های آزمایشگاهی وجود دارد و در نتیجه هر دو نرم‌افزار می‌توانند توزیع تنش برشی را به نحو مناسبی محاسبه نمایند. در مجموع نتایج عددی نرم‌افزار Fluent در مقایسه با نرم‌افزار 3D Flow به داده‌های آزمایشگاهی نزدیک‌تر بودند.

واژه‌های کلیدی: تنش برشی، روش YLM؛ کanal مرکب، Ansys Fluent، Flow-3D

مقدمه

ساختار هیدرولیک جریان در کanal‌های مرکب به دلیل ترکیب تنش برشی مرزی و تنش رینولز در نزدیکی فصل مشترک سیالابدشت و کanal اصلی، بسیار پیچیده است. بسیاری از مطالعات قبلی به منظور بررسی هیدرودینامیک جریان‌های کanal باز مرکب با مدل‌سازی فیزیکی و عددی انجام شده است.

جریان‌های کanal باز مرکب معمولاً در رودخانه‌های طبیعی مشاهده می‌شوند. گرادیان سرعت در فصل مشترک بین کanal اصلی و سیالابدشت باعث تبادل مومنتوم قوی می‌شود که منجر به توزیع مجدد تنش برشی بستر می‌گردد. بنابراین، بررسی تأثیر نسبت‌های

عمق بر ساختار جریان و ویژگی‌های جریان در کanal‌های روباز مرکب برای تحلیل تغییرات تنش رودخانه، طراحی مقطع پایدار رودخانه، و پروژه‌های تنظیم، از اهمیت بالایی برخوردار می‌باشد (Ding et al., 2021).

یانگ و لیم با استفاده از معادلات دینامیک سیالات محاسباتی تنش‌های برشی مرزی را در مجرای روباز بدست آورده‌اند (Yang and Lim, 2005). یانگ به بررسی سطح برخورد سه مولفه تنش برشی، جریان‌های ثانویه و سرعت در مجرای روباز پرداخت. بدین منظور برای بررسی جریان‌های ثانویه به معادلات رینولز بین تائزات جداره کanal (شیب کanal) و جداره کanal برای تخمین تنش برشی مرزی نیز از معادلات رینولزی و برای توزیع سرعت در کanal نیز از پروفیل استخراج شده سرعت از بستر تا سطح آب استفاده نمود (Yang et al., 2005). بسیاری از مطالعات قبلی به منظور بررسی هیدرودینامیک جریان‌های کanal باز مرکب با مدل‌سازی فیزیکی و عددی انجام شده است. تومیناگو و نزو، آزمایش‌های فیزیکی را بر روی کanal‌های باز مرکب با نسبت‌های عمقی مختلف ($hr = 0.25, 0.50, 0.75$) انجام دادند و اطلاعات میدانی جریان دقیق را به دست آورند. آن‌ها ساختار

۱- دانشجوی دکترای سازه‌های آبی، گروه علوم و مهندسی آب، دانشگاه فردوسی مشهد، ایران

۲- استاد گروه علوم و مهندسی آب، دانشگاه فردوسی مشهد، ایران

۳- دانشیار گروه علوم و مهندسی آب، دانشگاه فردوسی مشهد، ایران

(Email: khodashenas@ferdowsi.um.ac.ir)
**- نویسنده مسئول: DOR: 20.1001.1.20087942.1402.17.2.12.8

پرداخت. در بررسی نتایج مشخص شد که انتخاب روش مناسب جهت برآورد ضریب انتقال جریان و محاسبه توزیع تنش مزدی بین کanal اصلی و سیلابدشت‌ها بسته به شرایط جریان شامل جریان‌های یکنواخت، متغیر تدریجی، و یا غیریکنواخت، متفاوت می‌باشد. ولی در صورت انتخاب روش محاسباتی صحیح برای جریان‌های یکنواخت با اعمال ضرایب اصلاحی می‌توان از این روش منتخب برای سایر جریان‌ها نظیر متغیر تدریجی و غیریکنواخت نیز استفاده کرد. موهانتی و همکاران، به بررسی تغییرات لایه تنش در کanal‌های مرکب پرداختند. نتایج مطالعات آن‌ها نشان داد که عرض لایه تنش به شرایط هندسی و شرایط جریان وابسته می‌باشد و رشد لایه تنش با افزایش نسبت عرض کاهش یافته و با کاهش عمق نسبی افزایش می‌یابد (Mohanty et al., 2011). موهانتی و خاتوا، برای تخمین تنش برشی و توزیع آن در کanal‌های مرکب از مدلی که بر اساس روش عددی و استفاده از معادلات سنت ونان و ناویر-استوکس و همچین عدد رینولدز م adul شده در معادلات ناویر-استوکس بهره بردن. آن‌ها سطح برخورد (جداش) کanal اصلی با سیلابدشت‌ها را بصورت خط عمودی فرض کردند (Mohanty and Khatua, 2014). نوتك و جیچا، تنش برشی و فشار حاصل از امواج سطحی با دامنه کوتاه جریان در کanal‌های روباز در رژیم جریان متلاطم را مدل نمودند (Knott and Jícha, 2014). پراست و نیکورا، اثرات جریان‌های ثانویه را بر ساختار جریان کanal‌های مرکب با مجرای آزمایشگاهی بررسی کردند. در مطالعه آن‌ها، سه سلول جریان ثانویه به خوبی ثابت شده در جریان‌های یکنواخت و غیریکنواخت با جریان‌های عرضی به سمت سیلابدشت مشاهده شدند. با جریان‌های عرضی به سمت کanal اصلی، سه سلول با یک سلول بزرگ در کanal اصلی جایگزین شدند (Proust and Nikora, 2020). سینگ و همکاران و همکاران، از مدل ϵ - k و مدل تنش رینولدز برای شبیه‌سازی جریان‌های کanal باز مرکب با مقادیر hr برابر با $0/05$ و $0/75$ استفاده کردند. نتایج نشان داد که مدل تنش رینولدز قادر به ثبت پدیده انتقال تکانه در لبه تقاطع بود، اما مدل ویژگی‌های آشفتگی را در مناطق بستر و دیواره بیش از حد برآورد می‌کرد (Singh et al., 2020). ظهیری و همکاران (Singh et al., 2020) به محاسبه توزیع‌های عرضی سرعت جریان در کanal‌های مرکب مستقیم در دو حالت صاف و زبر پرداختند. در این مطالعه داده‌های منحنی‌های هم سرعت جریان در مقاطع کanal به ازای عمق‌های مختلف جریان و ضرایب زبری دشت‌های سیلابی محاسبه و با داده‌های آزمایشگاهی مقایسه گردید. شرایط جریان ماندگار و یکنواخت (با صرف نظر کردن از جریان‌های ثانویه) بوده است. بررسی نتایج و مرور تحقیقات محققین در بخش پیشینه پژوهش، در انتخاب روش مناسب مدل آشفتگی جریان و همچنین انتخاب روش موثر در تخمین توزیع تنش برشی نشان داد که؛ بیشتر مدل‌های انتخاب آشفتگی جریان، شبیه-

آشفته سه بعدی کanal‌های باز مرکب را بررسی کردند و دریافتند که جریان‌های ثانویه به طور قابل توجهی بر جریان اصلی تأثیر می‌گذارد (Tominaga and Nezu, 1991). ناثوت و همکاران، از مدل تنش جبری N-R (Naot-Rodi) برای شبیه‌سازی جریان‌های کanal باز مرکب با نسبت‌های عمقی مختلف استفاده کردند. اگرچه نتایج محاسبات به طور کلی با اندازه‌گیری‌ها سازگار بود، اما جزئیات توزیع سرعت شبیه‌سازی شده تا حدودی ناکافی بود. این موضوع به این دلیل است که مدل N-R قادر به تکرار پدیده شبیه سرعت نیست (Naot et al., 1993). سوفیالیدیس و پرینس، از مدل غیرخطی ω - k - h برای شبیه‌سازی جریان‌های کanal باز مرکب استفاده کردند و گزارش کردند که تعامل بین کanal اصلی و سیلابدشت زمانی که hr کوچک بود آشکارتر بود (Sofialidis and Prinos, 1999). سارمیتو و فالکون، در یک بررسی برای به حداقل رساندن مجموع مرباعات خطأ بین نسبت‌های بار بستر در داده‌های تئوری با تجربی (آزمایشگاهی) برای محاسبه تنش برشی بستر کanal به این نتیجه رسیدند که عدد رینولدز ذرات بستر که پارامتر مشخصی برای سرعت برشی ذرات بستر می‌باشد، باید برابر با $16/0$ باشد (Sarmiento and Falcon, 2006). روش تعیین توزیع تنش برشی بستر کanal‌های روباز را با هم مقایسه کردند و به این نتیجه رسیدند که روش‌های MPM (Yang and Lim, 2005) و YLM (Khodashenas et al., 1998) نتایج مناسبی برای کanal‌های غیرمنظم ارائه می‌کنند (Khodashenas et al., 2008). عامل صادقی و همکاران (Chadwick and Hockley, 1999)، به محاسبه تغییرات سرعت جریان در کanal‌های مرکب در شرائط خاص پرداختند. آن‌ها با فرض وجود زبری ناشی از آرایش ردیفی گیاهان مقاوم و سخت (در رده‌بندی گیاهان) در ناحیه کanal‌های مجاور و در بستر آن‌ها که در شرایط غوطه‌ور جریان نباشد، به محاسبه سرعت جریان و تغییرات تنش برشی پرداختند. مشخص شد که مومتووم جریان ورودی جانبی از کanal‌های مجاور به داخل کanal اصلی یکی از مهم‌ترین پدیده‌های هیدرولیکی دخیل در کanal‌های مرکب بود که سبب شکل‌گیری جریان گردابه‌ای در ورودی کanal اصلی می‌گردید. وجود این گردابه‌ها ممکن است سبب افت انرژی و همچنین افزایش مقاومت جریان گشته که در نهایت موجب کاهش زبری بستر (بستر) خواهد شد. پاتل و همکاران، در محاسبه تنش‌های بحرانی بستر در توزیع رسوبات غیریکنواخت مجازی موفق شدند تا یک نسبت بی‌بعد از تنش بحرانی ذرات بستر وابسته به اندازه ذرات رسوبات و همچنین زاویه اصطکاک داخلی رسوبات ارائه دهند (Patel et al., 2010). گیوه‌چی (Giovechi, 1998)، به بررسی تنش برشی در مقاطع مرکب و بررسی توان ضریب انتقال خطی آلدگی در این نوع کanal‌ها

بستر می‌باشد. مشخصات هندسی کانال‌ها در جدول ۱ آورده شده است.

در سری ۷ در محیط آزمایشگاه برای زبردن سیلابدشت‌ها از شبکه میله‌های فلزی استفاده شده است. برای سیلابدشت سری ۷، رسوبات بستر معادل $1/8$ میلی‌متر در نظر گرفته شده است. ضریب زبری n_s سیلابدشت برابر با 0.017 گرفته شده است. همچنین برای سری ۷ فاز A، زبری معادل برابر 0.01 می‌باشد (بر اساس مدل Flow 3D).

فلوئنت (Fluent)

نرم افزار Fluent به زبان برنامه‌نویسی C نوشته شده و یکی از نرم افزارهای تجاری دینامیک سیالات محاسباتی در دنیا می‌باشد. در مقایسه با سایر نرم افزارهای موجود، این نرم افزار دارای مدل‌های آشفتگی متعدد تری بوده و از این لحاظ می‌تواند نسبت به سایر نرم‌افزارها دارای برتری باشد. همچنین نرم افزار فلوئنت توانایی شبیه‌سازی و تحلیل شبکه‌های منظم و نامنظم برای هندسه‌های پیچیده را دارد. Fluent یک نرم افزار حل میدان جریان می‌باشد که به صورت دو بعدی و سه بعدی بر اساس روش حجم محدود میدان جریان را تحلیل می‌نماید.

سازی‌های تزدیک به واقعیت برای جریان‌های ساده در کانال‌های مرکب مستقیم ارائه می‌نماید که به منظور واکاوی و انتخاب روش موثرer، نیاز به شبیه‌سازی شرایط جریان با مدل‌های عددی و نرم‌افزارهای توسعه‌یافته بر مبنای معادلات انتقال جریان و ناویر-استوکس می‌باشد. با توجه به اهمیت تعیین توزیع تنش برشی در کانال‌های مرکب، در تحقیق حاضر با استفاده از دو نرم افزار Fluent و Flow-3D توزیع تنش برشی بستر در این کانال‌ها محاسبه شد و ضمن مقایسه با روش YLM برای تعیین دقت آن‌ها با داده‌های آزمایشگاهی FCF مقایسه شدند.

مواد و روش‌ها

(FCF: Flood Channel Facility)

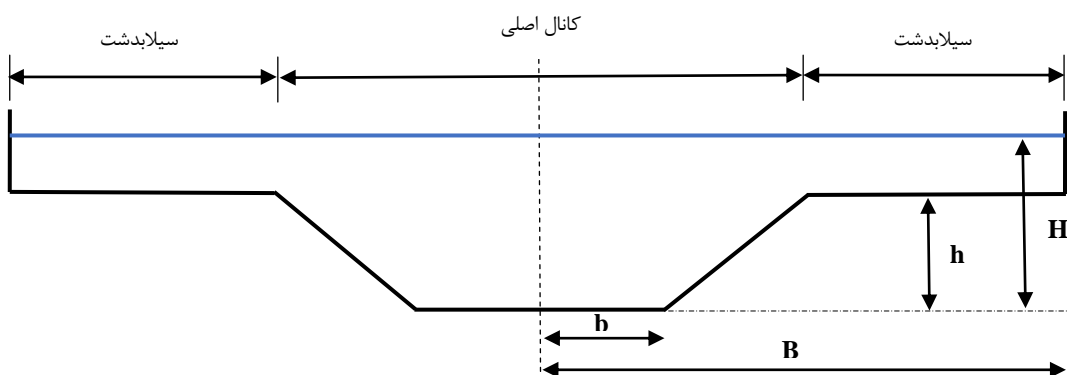
مرکز تحقیقات والینگفورد انگلستان، دارای داده‌های آزمایشگاهی معتبری در زمینه کانال‌های مرکب می‌باشد. در این آزمایشگاه کانالی بزرگ مقیاس با طولی حدود ۶۵ متر و عرض ۱۰ متر مورد آزمایش قرار می‌گیرد که در شکل ۱ نشان داده شده است.

در این تحقیق از سه داده آزمایشگاهی استفاده شده است؛ سری ۲، ۴ و ۷ از فاز A.

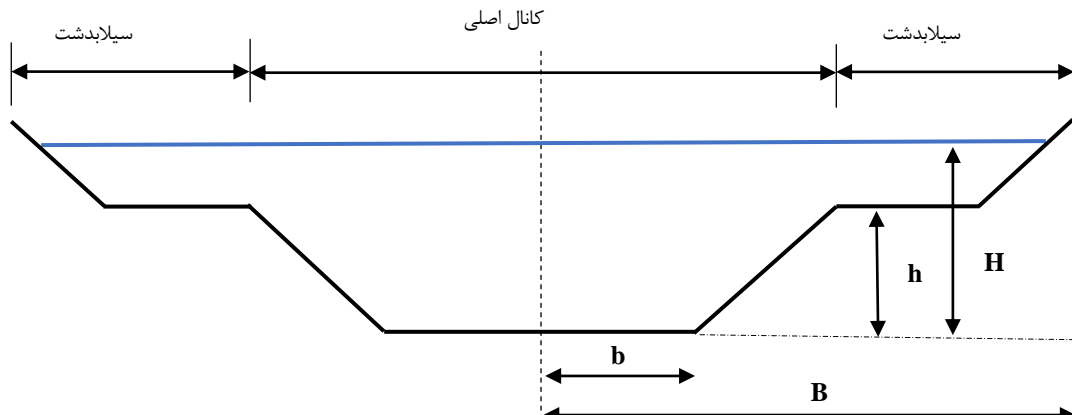
داده‌های سری ۲ و ۷ بر اساس کانال شکل ۲ و داده‌های سری ۴ بر اساس شکل ۳ بدست آمده‌اند. تفاوت سری ۲ و ۷ در میزان زبری



شکل ۱- کanal FCF با زبری همگن و مسیر مستقیم



شکل ۲- مدل فیزیکی و مشخصات هندسی سری ۲ و ۷



شکل ۳- مدل فیزیکی و مشخصات هندسی سری ۴

جدول ۱- جمع‌بندی ویژگی‌های سری‌های نمونه آزمایشگاهی

n	Q_t (m³/s)	Z_2	Z_1	ثیب جانبی کanal اصلی	ثیب جانبی سیلابدشت	ذیری	h	H	B/h	b	B	FCF	نمونه
۰/۰۰۵۴۸۹	۰/۲۱۲۳	صاف	.	۱			۰/۱۵	۰/۱۵۶	۴/۲۰	۰/۷۵	۳/۱۵	۲	سری
۰/۰۰۹۸۵۷	۰/۲۲۳۷	صاف	۱	۱			۰/۱۵۸	۰/۵	۲/۲۰	۰/۷۵	۱/۶۵	۴	سری
۰/۰۳۱۲۳	۰/۲۱۶۰	زبر	.	۱			۰/۱۵	۰/۱۵۶	۴/۲۰	۰/۷۵	۳/۱۵	۷	سری

مشبندی شبکه به صورت تدریجی درشت‌تر شده است.

در این مطالعه، از ۶.۳.۲۶ Ansys FLUENT برای انجام یک سری شبیه‌سازی عددی بر روی تنظیمات مدل‌های آزمایشگاهی فیزیکی ارائه شده در بخش داده‌های آزمایشگاهی مقاله، استفاده شده است. برنامه Fluent قادر به مدل‌سازی آشفتگی مدل $k-\varepsilon$ استاندارد از نوع RANS می‌باشد و دو معادله‌ای محاسبه می‌گردد. معادلات RANS سه بعدی در سیستم مختصات دکارتی به صورت زیر بیان می‌شود (Chang et al., 2011):

$$\begin{cases} \frac{\partial \rho}{\partial t} + \frac{\partial}{\partial x_i} (\rho u_i) = 0 \\ \frac{\partial}{\partial t} (\rho u_i) + \frac{\partial}{\partial x_i} (\rho u_i u_j) = - \frac{\partial p}{\partial x_i} + \frac{\partial}{\partial x_i} \left[\mu \left(\frac{\partial u_i}{\partial x_i} + \frac{\partial u_j}{\partial x_i} - \frac{2}{3} \delta_{ij} \frac{\partial u_l}{\partial x_l} \right) \right] + \frac{\partial}{\partial x_i} (-\rho u_i' u_j') \end{cases} \quad (1)$$

که در آن $i, j = 1, 2, 3$ نشان‌دهنده سه محور مختصات بوده؛ u_1, u_2 و u_3 به ترتیب سه مولفه سرعت در امتداد محورهای x, y و z هستند، p چگالی سیال، μ ویسکوزیته دینامیکی، ρ فشار، t زمان و $u_i' u_j'$ تنش‌های رینولدز می‌باشند.

متاسفانه یک حالت کلی برای مدل کردن همه مسائل آشفتگی وجود ندارد. انتخاب مدل آشفتگی بستگی به ملاحظاتی مانند محیط فیزیکی جریان، سطح دقت مورد نیاز، منابع محاسباتی در دسترس و میزان زمان در دسترس برای شبیه‌سازی دارد. در این تحقیق از مدل $k-\varepsilon$ استاندارد برای حل معادلات انرژی جنبشی آشفتگی (k) و نرخ پراکندگی آشفتگی یا اتلاف (ε) استفاده شده است؛ که یک مدل

انسیس فلوئنت مسائل جریان را از طریق روش محدود و با استفاده از شبکه‌های بدون ساختار حل می‌نماید. انواع مشاهی پشتیبانی شده عبارتند از دو بعدی (مثلثی و چهار ضلعی)، سه بعدی (چهار و مجهی، شش گوشه، هرمی، گوهای، چندوجهی) و مش مختلط (ترکیبی) می‌باشد. انسیس فلوئنت، همچنین اجازه اصلاح و یا زمخت کردن مش بر اساس حل جریان را می‌دهد (Abril and Knight, 2004).

نرم‌افزار انسیس فلوئنت قادر به ساخت هندسه و شبکه‌بندی آن نمی‌باشد و برای این کار باید از یک نرم‌افزار جنبه استفاده نمود. در این تحقیق از نرم‌افزار گمیت برای ساخت هندسه و شبکه‌بندی آن استفاده شده است. مزیت مهم دیگری که این نرم‌افزار دارد، منوی Adapt آن می‌باشد که به کاربر اجازه تطبیق و بهبود شبکه مش‌بندی را می‌دهد. همچنین Fluent به کاربر اجازه بهبود شبکه (مثلث ریز کردن یا درشت کردن شبکه در مرازها و مکان‌های لازم در هندسه) را می‌دهد. این بهینه‌سازی برای حل مدل و شبکه، قابلیتی در اختیار کاربر قرار می‌دهد که نتایج را در ناحیه‌هایی که دارای گرادیان‌های بزرگ (مثل لایه مرزی و ...) باشند دقیق‌تر سازد. این قابلیت‌ها مدت زمانی را که برای تولید یک شبکه خوب احتیاج می‌باشد در مقایسه با حل در شبکه‌های ساختاریافته به صورت قبل ملاحظه‌ای کاهش می‌دهد. در این تحقیق شبکه‌بندی انجام شده، توسط نرم‌افزار انسیس فلوئنت در محدوده حساس‌تر ریز می‌شود؛ در ابتدای مقطع ورودی کanal به دلیل شرایط جریان و تغییرات بیشتر در بالاست از مش‌های ریزتری در مدل استفاده شده و در امتداد کanal به سمت پایین دست؛

جريان‌های سطح آزاد می‌باشد. در تعیین سطح آزاد جريان، روش‌های متفاوتی در نرم‌افزار دیده شده است و در تعیین شکست سد و حرکت موج به کمک اين نرم‌افزار مدل‌های زيادي تحليل شده است. معادلات موجود در مدل 3D Flow اين قابلیت را دارند که به هر دو صورت دکارتی (x, y, z) و استوانه‌ای (r, θ, z) نوشته شوند. فرم استوانه‌ای دارای يك سری عبارات اضافی با ضریبی به نام ξ می‌باشد؛ در نتيجه هنگامی که $\xi = 1$ باشد، هندسه استوانه‌ای و هنگامی که $\xi = 0$ باشد، هندسه دکارتی به دست می‌آيد.

برای ارزیابی این نرم‌افزار با به کارگیری روش حجم سیال (VOF) در تخمین پارامترهای جريان در سازه‌های ترکیبی، از داده‌های آزمایشگاهی عنوان شده در این تحقیق استفاده شده است؛ به طوری که نتایج حاصل از شبیه‌سازی عددی با استفاده از مدل آشفتگی ϵ – k با آن داده‌ها مقایسه گردیده است.

برای تعیین توزیع تنش برشی در مدل‌های نرم‌افزاری Fluent و SKM Flow 3D در این مقاله، از روش پایه تعیین تنش برشی (Shiono and Knight, 1991) در مدل‌سازی‌ها استفاده شده است. روش SKM يك روش محاسبه تغیيرات جانبي ۲ بعدی بر اساس معادلات رينولز و ناويه – استوکس است که عمق و سرعت متوسط و تنش‌های برشی مرزی را در طول يك مقطع کانال مرکب محاسبه می‌کند.

تعیین تعداد مش‌های مناسب

شكل ۴، شبکه محاسباتی برای نمونه‌های آزمایشگاهی مورد استفاده (سری ۲، سری ۴، و سری ۷) در این مطالعه را نمایش می‌دهد. مش محاسباتی بر اساس مش به هم‌چسبیده با يك عنصر شش وجهی در محیط نرم‌افزار GAMBIT ساخته شده است. با توجه به تأثیر عمده مش محاسباتی بر دقت نتایج حاصله، طیف گستره‌ای از تحلیل‌های حساسیت در اندازه مش‌ها (با توجه به زمان محاسباتی اجرای مدل توسط سیستم رایانه‌ای جهت به دست آوردن جواب‌ها، و همچنین نزدیکی جواب‌های جهت به دست آمده به جواب‌های آزمایشگاهی)، به منظور اعتبارسنجی تعداد مناسب مش‌ها انجام شدند. از طریق اجرای مدل‌ها با مش‌های مناسب اصلاح شده در شرایط مختلف، اندازه بهینه‌ی مش‌ها برای سه سری مورد بررسی به ترتیب در حدود ۱، ۰/۵، و ۱ سانتی‌متر تعیین گردیدند.

روش (YLM) Yang and Lim (2005)

برای راستی‌آزمایی نتایج خروجی مدل‌های نرم‌افزاری (هر دو مدل بر مبنای روش SKM به محاسبه توزیع تنش برشی بر مقطع کانال‌های مرکب می‌پردازد)، با داده‌های هیدرولیکی و مشخصات هندسی مدل، توزیع تنش برشی توسط روش YLM نیز بدست آمد.

نیمه‌تجربی و دو معادله‌ای برای شناسایی رفتار جريان در اکثر جريان‌های مستقیم با محاسبات پایدار و هم‌گرا در نتایج بوده و در تحلیل جريان‌های آشفته بیشترین کاربرد را در میان دیگر مدل‌ها دارد. انرژی جنبشی آشفته، k ، و نرخ اتلاف آن، ϵ ، از معادلات انتقال زیر به دست می‌آیند:

$$\begin{cases} \frac{\partial}{\partial t}(\rho k) + \frac{\partial}{\partial x_i}(\rho k u_i) = \frac{\partial}{\partial x_j} \left[\left(\mu + \frac{\mu_t}{\sigma_k} \right) \frac{\partial k}{\partial x_j} \right] + G_k + G_b - \rho \epsilon \\ \frac{\partial}{\partial t}(\rho \epsilon) + \frac{\partial}{\partial x_i}(\rho \epsilon u_i) = \frac{\partial}{\partial x_j} \left[\left(\mu + \frac{\mu_t}{\sigma_\epsilon} \right) \frac{\partial \epsilon}{\partial x_j} \right] + C_{1k} \frac{\epsilon}{k} (G_k + C_{2k} G_b) - C_{2k} \rho \frac{\epsilon^2}{k} \end{cases} \quad (2)$$

که در دسته معادلات (۲)، G_k بیانگر انرژی جنبشی تولید شده به علت گرادیان‌های سرعت متوسط است، G_b انرژی جنبشی آشفته تولید شده به علت خاصیت شناوری می‌باشد؛ C_{1k} ، C_{2k} و σ_k ، مقادیر ثابت هستند، و همچنین σ_k و σ_ϵ به ترتیب اعداد پرانتل آشفتگی برای k و ϵ هستند.

برای طرح گسته‌سازی فشار^۱، گزینه تداخل فشار^۲ و برای کوپلینگ فشار-سرعت^۳، فشار^۴-ضمنی با تقسیم عملگرهای^۵ اعمال شد (Wilcox, 1998). لازم به ذکر است که از طریق تجزیه و تحلیل حساسیت اولیه مشخص شد که مدل دارای نوسانات ناچیز و دقت خوبی در نتایج است. هیرت و نیکولز، روش حجم سیال^۶ را برای ردیابی رابط بین فازها ارائه دادند که با حل يك معادله پیوستگی برای کسر حجمی يك (یا چند) فاز انجام می‌شود (Hirt and Nichols, 1981).

هنگام مدل‌سازی سطح آزاد، معادله انتقال برای فاز ۹-ام حل می‌شود (Chang et al., 2011):

$$\frac{\partial \alpha_q}{\partial t} + \nabla \cdot (\nu \cdot \alpha_q) = 0 \quad (3)$$

که در آن، α_q کسر حجمی فاز ۹-ام است به نحوی که به ازای $\alpha_q = 1$ و $\alpha_q = 0$ سلول از فاز ۹-ام خالی است، و به ازای $\alpha_q < 0$ سلول حاوی رابط بین فاز ۹-ام است. در روش مفروض با استفاده از $VOF = 0.5$ يك سطح آزاد تعریف شد.

Flow 3D

نرم‌افزار 3D Flow از جمله نرم‌افزارهای قوى در زمينه دینامیک سیالات محاسباتی است که برای حل مسائل با هندسه پیچیده مورد استفاده قرار می‌گیرد. اين نرم‌افزار قابلیت تحلیل دو بعدی یا سه بعدی میدان جريان را به صورت حجم محدود دارا می‌باشد. اين نرم‌افزار از المان‌های سه بعدی متعامد استفاده می‌کند و در ایجاد مانع در برابر جريان قابلیت‌های ویژه‌ای دارد که از جمله این قابلیت‌ها در زمينه آنالیز هیدرولیکی، توانایی در استفاده از روش VOF در مدل کردن

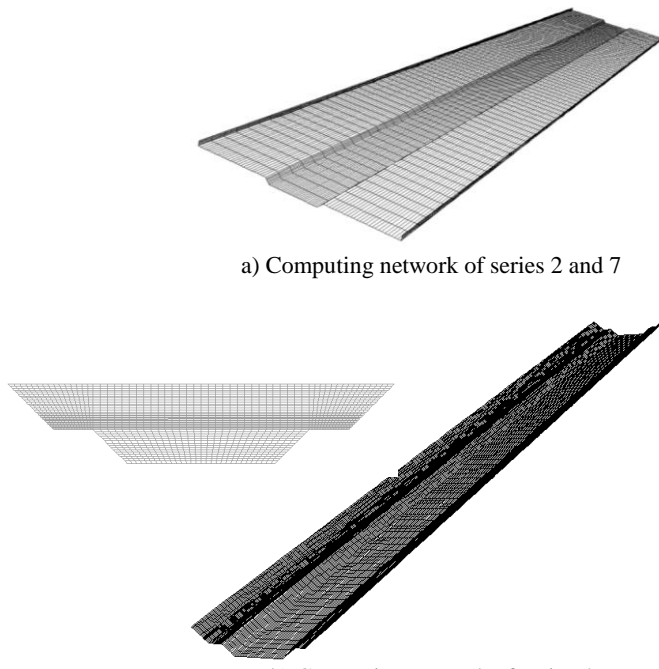
1- Pressure Discretization Scheme

2- PREssure STaggering Option (PRESTO)

3- Pressure–Velocity Coupling

4- Pressure-Implicit with Splitting of Operators (PISO)

5- Volume of Fluid (VOF)



شکل ۴- شبکه محاسباتی برای نمونه‌های مختلف مورد مطالعه (a, b)

نتایج حاصل مورد تحلیل و مقایسه قرار گرفته است.

نتایج و بحث

اعتبارسنجی شبیه‌سازی‌های عددی

قبل از تجزیه و تحلیل نتایج، لازم است بهوسیله مقایسه نتایج حاصل از اجرای مدل عددی در نرم‌افزارهای مورد استفاده با اندازه‌گیری‌های تجربی و آزمایشگاهی، از صحت مدل عددی اطمینان حاصل شود. برای این منظور، توزیع تنش برشی در بستر در نقاط مختلف کanal در راستای مقطع عرضی برای هر سه نمونه مورد بررسی قرار می‌گیرند.

تغییرات تنش برشی در بستر کانال‌ها در راستای عرض کanal-ها

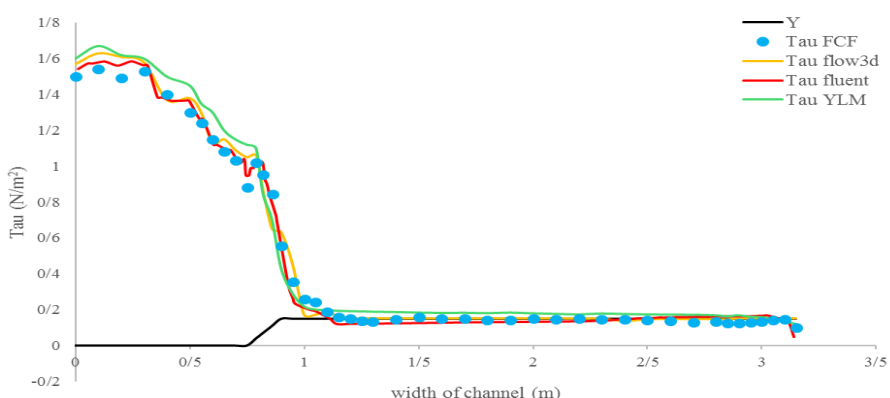
در این بخش، به بررسی و تحلیل نتایج آزمایشگاهی و نتایج عددی تغییرات تنش برشی بستر کانال‌ها در راستای مقطع عرضی کanal (محور Y)، و مقایسه این نتایج جهت اعتبارسنجی مدل‌های عددی اجرا شده با استفاده از دو نرم‌افزار Fluent و Flow3D و نیز روش YLM پرداخته شده است.

شکل‌های ۵، ۶ و ۷ نتایج آزمایشگاهی واقعی و نتایج عددی توزیع تنش برشی بستر بدست‌آمده با دو نرم‌افزار Fluent و Flow

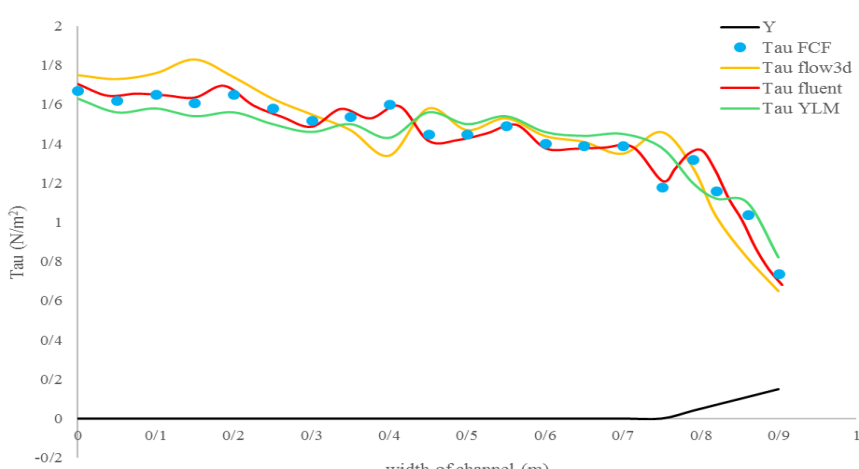
يانگ و ليم، يك روش تحليلي برای محاسبه توزيع تنش برشی در کanal‌های منشوری با زبری مرزی غيريكناخت توسعه دادند (Yang and Lim, 2005). روش آن‌ها بر مفهوم "انتقال انرژی مازاد" از طریق حداقل فاصله نسبی تا نزدیکترین مرز" در جریان آشفته پایدار، يکنواخت و کاملاً توسعه‌یافته استوار است. يانگ و ليم فاصله را به صورت نسبت کوتاه‌ترین فاصله هندسی به ظرفیت اتلاف انرژی مرز تعریف کردند. برای يك مرز صاف، طول مشخصه نشان-دهنده ظرفیت اتلاف انرژی مرز، با استفاده از مقیاس طول ویسکوز v/u^* ، با v به عنوان ویسکوزیته سیال سینماتیک و u^* به عنوان سرعت برشی، مقیاس می‌شود. برای يك مرز زیر و ناهموار، طول مشخصه با استفاده از ارتفاع زبری مرزی مقیاس‌بندی می‌شود. از این نظر، يانگ و ليم ناحیه جریان را با توجه به شکل سطح مقطع و ترکیب زبری محیط خیس شده آن، به زیر نواحی تقسیم کردند. جریان‌های ثانویه نیز در نظر گرفته نشده‌اند. YLM برای سطح مقطع‌های زیر به کار گرفته می‌شود؛ کanal پهن کم عمق ذوزنقه‌ای (یعنی تقاطع خطوط تقسیم بالای سطح آب است)، کanal باریک عمیق ذوزنقه‌ای (یعنی تقاطع خطوط تقسیم زیر سطح آب است)، مجرای دایره‌ای، و کanal مرکب. بنابراین در این تحقیق، از روش YLM در مقاطع کanal مرکب نیز برای محاسبه توزیع تنش برشی بستر کanal‌های ۳ نمونه آزمایشگاهی مورد مطالعه، استفاده شده و

بررسی و مقایسه نتایج عددی حاصل از دو نرم‌افزار 3D Flow و نتایج حاصل از روش YLM با داده‌های تجربی و آزمایشگاهی مربوطه، حاکی از آن است که توزیع تغییرات تنش برشی بستر در کانال‌های روباز مرکب به طور مناسب و با موفقیت شبیه‌سازی شده‌اند و در واقع نشان از دقت مناسب نرم‌افزارهای Flow 3D و Fluent در شبیه‌سازی جریان در کانال‌های روباز مرکب دارد؛ به‌ نحوی که مقادیر محاسبه شده توسط هر دو نرم‌افزار برای تنش برشی در بستر کانال‌ها در راستای عرض اختلاف اندکی با مقادیر نقاط مختلف کانال در راستای عرض برای هر سه نمونه آزمایشگاهی نشان می‌دهد که مدل استاندارد τ - k مدل مناسبی برای شبیه‌سازی پدیده تغییر شکل و تغییرات تنش برشی بستر در کانال‌های روباز مرکب می‌باشد.

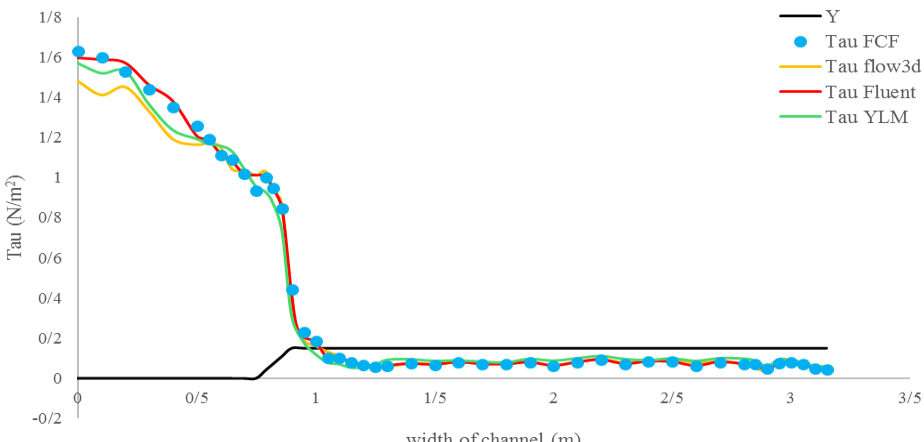
3D و نیز روش YLM، به ترتیب برای داده‌های آزمایشگاهی سری ۴ و ۷ را نشان می‌دهند. مقایسه نتایج بدست‌آمده برای تغییرات تنش برشی بستر کانال در راستای مقطع عرضی کانال توسط دو نرم‌افزار Fluent و Flow3D و همچنین مقایسه با نتایج محاسبه شده توسط روش YLM نیز، نشان می‌دهد که توزیع تنش نمایش داده شده حاصل از هر دو نرم‌افزار و نیز روش YLM به داده‌های آزمایشگاهی بوده است؛ البته مدل Fluent به دلیل در نظر گرفتن تنش‌های ثانویه در مدل سازی در مرز بین سیلاندشت با کانال اصلی، نتایج دقیق‌تر و نزدیک‌تر به واقعیت را ارائه نموده است. همان‌طور که در شکل‌های ۵، ۶ و ۷ مشاهده می‌شود، به طور کلی در وسط کانال بیشترین مقدار تنش وجود دارد که تا ابتدای سیلاندشت‌ها در طرفین نیز روند کاهشی خواهد داشت. همچنین تغییرات میزان تنش در مرز جدایش کانال اصلی و سیلاندشت، زیاد و ناگهانی می‌باشد که علت این تغییر شبیه ناگهانی تنش برشی وجود تلاطم‌های گردابه‌ای جریان و جریان‌های ثانویه می‌باشد.



شکل ۵- نتایج آزمایشگاهی و عددی تغییرات تنش برشی (τ) در راستای مقطع عرضی کانال (Y) برای نمونه ۱ (سری ۲)



شکل ۶- نتایج آزمایشگاهی و عددی تغییرات تنش برشی (τ) در راستای مقطع عرضی کانال (Y) برای نمونه ۲ (سری ۴)



شکل ۷- نتایج آزمایشگاهی و عددی تغییرات تنفس برشی (Tau) در راستای مقطع عرضی کanal (Y) برای نمونه ۳ (سری ۷)

در روابط فوق، Num_i مقادیر محاسباتی یا نتایج پیش‌بینی شده توسط شبیه‌سازی عددی، Exp_i مقادیر مشاهداتی، n تعداد داده مشاهداتی یا محاسباتی، \overline{Num} میانگین مقادیر محاسباتی، و Exp میانگین مقادیر مشاهداتی می‌باشد.

هرچه مقدار پارامترهای MAPE و RMSE کوچک‌تر و نزدیک‌تر به صفر بوده، و همچنین هرچه میزان میت^۲ R به یک نزدیک‌تر باشد، نشان‌دهنده دقیق‌تر مدل می‌باشد. نتایج مقادیر پارامترهای خطای MAPE، RMSE، و R^2 در جدول ۲ ارائه شده‌اند.

به منظور اعتبارسنجی و همچنین مقایسه دقیق‌تر نتایج مدل‌های عددی و روش YLM با نتایج آزمایشگاهی، از ۳ پارامتر میانگین قدرمطلق درصد خطای (MAPE)، ریشه میانگین مربع خطای (RMSE) و ضریب تبیین (R^2)، مطابق روابط (۴) تا (۶) استفاده شد.

$$MAPE = \frac{1}{n} \sum_{i=1}^n \left| \frac{Exp_i - Num_i}{Exp_i} \right| \times 100 \quad (4)$$

$$RMSE = \sqrt{\frac{1}{n} \sum_{i=1}^n (Num_i - Exp_i)^2} \quad (5)$$

$$R^2 = \left(\frac{\sum_{i=1}^n (Num_i - \overline{Num})(Exp_i - \overline{Exp})}{\sum_{i=1}^n (Num_i - \overline{Num})^2 (Exp_i - \overline{Exp})^2} \right)^2 \quad (6)$$

جدول ۲- مقادیر پارامترهای خطای برای نتایج مدل‌سازی 3D Flow، Fluent، و روش YLM در مقایسه با ۳ نمونه آزمایشگاهی

	نتایج عددی سری آزمایشگاهی ۲			نتایج عددی سری آزمایشگاهی ۴			نتایج عددی سری آزمایشگاهی ۷		
	Flow3d	Fluent	YLM	Flow3d	Fluent	YLM	Flow3d	Fluent	YLM
RMSE (Pa)	0.05915	0.03539	0.08124	0.13007	0.03010	0.08857	0.05513	0.01749	0.04607
R^2	0.99986	1.00000	0.99723	1.00000	0.99196	1.00000	0.97942	0.99337	0.99251
MAPE %	9.32964	1.11703	19.70886	7.72138	1.68783	5.77429	7.44143	2.08713	18.73810

توزیع بودار سرعت جریان در مقاطع مختلف پس از اعتبارسنجی و تایید صحت مدل عددی، برخی نتایج کاربردی و بحث و بررسی از شبیه‌سازی‌های انجام‌شده توسط نرم‌افزار Fluent، در این بخش ارائه شده‌اند. هنگام بررسی جریان در کanal-های روباز مرکب، تغییرات سرعت جریان در مقاطع مختلف کanal از اهمیت ویژه‌ای برخوردار است. لذا در این بخش توزیع بودار سرعت جریان آب در مقاطع مختلف کanal برای ۳ نمونه آزمایشگاهی مورد مطالعه به شرح زیر بررسی می‌شود.

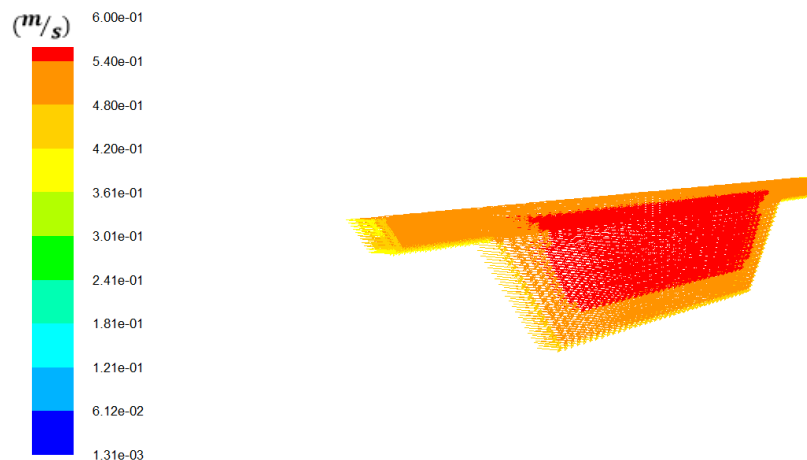
با بررسی نتایج طیف‌های بودارهای سرعت جریان آب در راستای

با بررسی نتایج عددی بدست‌آمده از نرم‌افزارهای Flow 3D و Fluent و همچنین نتایج حاصل از روش YLM ملاحظه می‌شود که دو نرم‌افزار مذکور و نیز روش محاسباتی YLM روش‌های مناسب و کارآمدی بوده‌اند؛ اما نتایج عددی نرم‌افزار Fluent بر مبنای استفاده از روش SKM مدلی مناسب‌تر و به داده‌های آزمایشگاهی واقعی نزدیک‌تر بودند، بنابراین در ادامه به منظور بحث و تحلیل دقیق‌تر، با استفاده از نرم‌افزار فلوئنت برخی نتایج کاربردی برای ۳ نمونه آزمایشگاهی مورد مطالعه، شبیه‌سازی و ارائه شده‌اند.

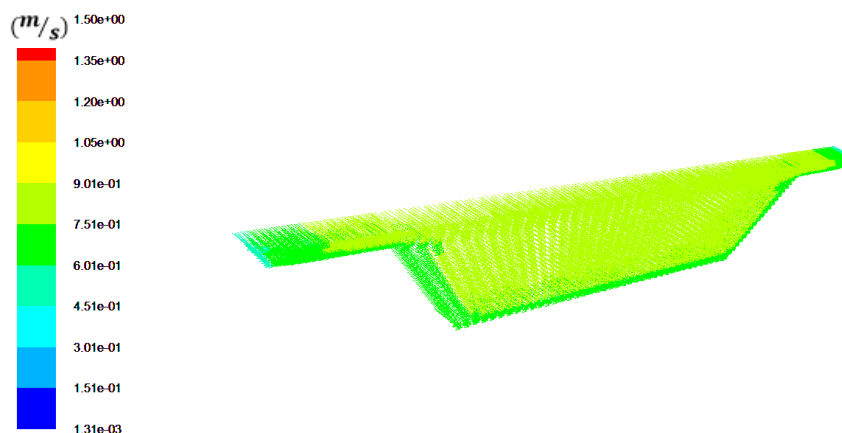
در مقاطع طولی مختلف را برای کanal نمونه آزمایشگاهی دوم (سری شماره ۴ FCF) نشان می‌دهند. با بررسی بردارهای سرعت در مقاطع ۹ متری طولی در سری ۴، همان طور که قابل انتظار است بیشترین تغییرات سرعت در کanal اصلی نسبت به سیالابدشتها بوده و در راستای طولی از ابتدا به سمت پایین دست کanal روند صعودی دارد. همچنین علت اختلاف بیشترین بردارهای سرعت در دو مقطع ابتدایی و پایانی کanal در کanal اصلی نسبت به سیالابدشتها را می‌توان عمدتاً به علت وجود تلاطم ناشی از جریان‌های ثانویه و تغییر ناگهانی سرعت در مرز مقطع ذوزنقه‌ای سیالابدشتها به مقطع کanal اصلی دانست.

طولی برای مقاطع کanal نمونه آزمایشگاهی اول و سوم (سری شماره ۲ و ۷ FCF)، مشاهده گردید که بیشترین تغییرات سرعت در وسط کanal اصلی در هر مقطع بوده و در راستای طولی نیز از ابتدا به انتهای کanal افزایش می‌یابد که رابطه مستقیم با افزایش تنش برشی بستر و در نتیجه تغییرات سطح تراز آب را داشته است. البته در نمونه سوم (سری ۷) به علت وجود زیری در سیالابدشتها نسبت به سایر سری‌های مورد مطالعه در این تحقیق، میزان تغییرات کمی مولفه سرعت در شرایط یکسان هیدرولیکی و هندسی، کمتر است، هرچند که این روند تغییرات در انتهای کanal اصلی دارای افزایش می‌باشد.

شکل‌های ۸ تا ۱۱، سرعت برداری جریان (بر حسب متر بر ثانیه)



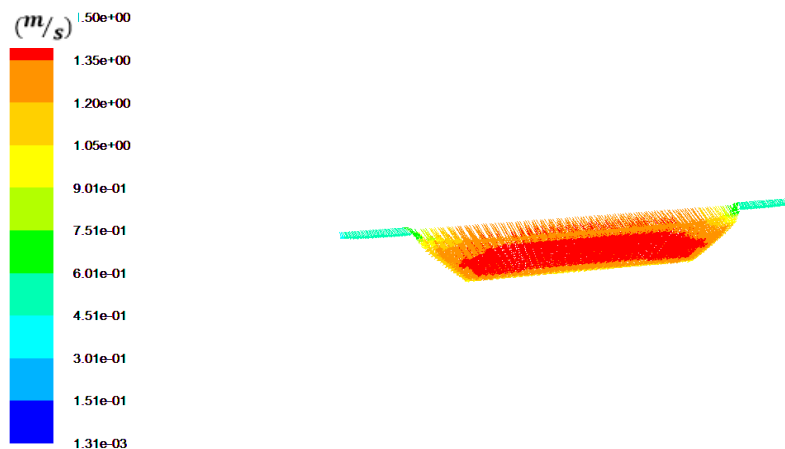
شکل ۸- نتایج عددی بردار سرعت جریان آب در مقطع طولی ۹ متری ($x = 9 \text{ m}$) کanal سری شماره ۴



شکل ۹- نتایج عددی بردار سرعت جریان آب در مقطع طولی ۱۸ متری ($x = 18 \text{ m}$) کanal سری شماره ۴



شکل ۱۰- نتایج عددی بردار سرعت جریان آب در مقطع طولی ۲۷ متری ($x = 27 \text{ m}$) کanal سری شماره ۴



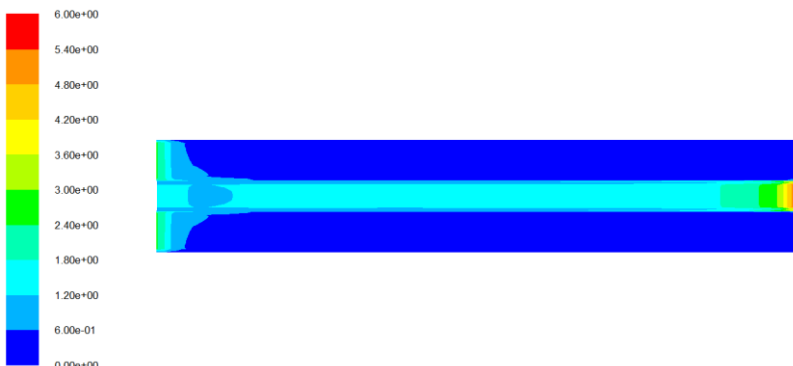
شکل ۱۱- نتایج عددی بردار سرعت جریان آب در مقطع طولی ۳۶ متری ($x = 36 \text{ m}$) کanal سری شماره ۴

در طول کanal را برای کanal نمونه آزمایشگاهی اول (سری شماره ۲ FCF) نشان می‌دهد. همان‌طور که نتایج حاصل از خروجی‌های نرم-افزار نشان می‌دهد، بیشترین تنش برشی بستر در کanal اصلی نسبت به سیلابدشت‌ها وجود داشته و از ابتدای کanal تا پایان کanal به تدریج روند افزایش این پارامتر مشهود است.

تغییرات تنش برشی در بستر

یکی از چالش برانگیزترین مسائل هنگام بررسی جریان در کanal-های رویاز مرکب، تنش برشی در نقاط مختلف کanal است. به همین دلیل، در این بخش تغییرات تنش برشی در بستر کanal برای ۳ نمونه آزمایشگاهی مورد مطالعه به شرح زیر بررسی می‌شود.

شکل ۱۲، تنش برشی بستر (بر حسب پاسکال) در نقاط مختلف



شکل ۱۲- نتایج عددی تنش برشی بستر در طول کanal برای نمونه ۱ (سری ۲)

خروجی مدل همچنین مشخص می‌گردد که نرمافزار به دلیل احتساب مدل مقطع واحد برای سیلابدشت و کانال اصلی ذوزنقه‌ای، تغییرات تنش را با خطای نسبی شبیه‌سازی نشان داده است؛ که استفاده از محاسبات بر مبنای سایر مدل‌های مرسوم غیر از مقطع واحد در نرم‌افزار برای سیلابدشت و کانال اصلی با مقطع ذوزنقه‌ای توصیه می‌شود.

شکل ۱۳، تنش برشی بستر (بر حسب پاسکال) در نقاط مختلف در طول کانال نمونه آزمایشگاهی دوم (سری شماره ۴) را نشان می‌دهد. روند اصلی افزایش تنش برشی در طول کانال و همچنین بیشتر بودن این شاخص در کانال اصلی نسبت به سیلابدشت‌ها در نتایج حاصل از مدل نرمافزاری نیز مشهود بوده که از حد فاصل یک سوم پایانی کانال تا پایین دست نشان داده شده است. با بررسی



شکل ۱۳- نتایج عددی تنش برشی بستر در طول کانال برای نمونه ۲ (سری ۴)

تنش برشی بستر در سری ۷ نسبت به سری ۲، از آنجا که زبری موجود در سیلابدشت‌ها و همچنین زیری کانال اصلی نسبت به سری ۲ بیشتر بوده است، سبب تغییر توزیع تنش برشی بستر کانال در مرز بین مقطع کانال اصلی با سیلابدشت‌ها شده است. این تغییرات در میانه کانال بیشتر مشهود می‌باشد.

شکل ۱۴، تنش برشی بستر (بر حسب پاسکال) در نقاط مختلف در طول کانال را برای کانال نمونه آزمایشگاهی سوم (سری شماره ۷ FCF) نشان می‌دهد. همان‌طور که در شکل ۱۱ مشاهده می‌گردد، روند کلی تغییرات تنش برشی تقریباً مشابه با شکل ۱۲ برای کانال سری شماره ۲ می‌باشد؛ اما با مقایسه دقیق‌تر نتایج مدل‌سازی توزیع



شکل ۱۴- نتایج عددی تنش برشی بستر در طول کانال برای نمونه ۳ (سری ۷)

بعدی بودن، ثابت بودن جرم مخصوص، وجود سطح آدیاباتیک، یا داشتن نرخ نامحدود فعل و انفعال نام برد، در یک کار عددی این شرایط می‌توانند به‌آسانی و با دقت بالا برقرار شوند، ولی در یک

نتیجه‌گیری

در مدل‌سازی عددی شرایط ایده‌آل زیادی ممکن است به عنوان شرایط مطلوب مورد بررسی قرار گیرند، به عنوان مثال می‌توان از دو

های ثانویه می‌گردد و این تغییر در پلان و مقطع عرضی منتج به غیر یک بعدی شدن جریان در این کanal‌ها می‌شود. نتایج نشان داد که هر دو نرمافزار 3D Flow و Fluent می‌توانند به نحو مناسبی توزیع نتش برشی بستر در کanal مرکب را به دست آورند. اما نتایج در مقایسه با Flow3D مناسب‌تر و به داده‌های آزمایشگاهی واقعی نزدیک‌تر بودند. به طور کلی بیشترین مقدار تنش برشی در وسط کanal‌ها وجود داشت و تا ابتدای سیلابدشت‌ها در طرفین کanal‌ها دارای روند کاهشی بود، در مرز جدایش کanal اصلی و سیلابدشت نیز تغییرات زیاد و ناگهانی برای مقادیر تنش برشی مشاهده گردید. همچنین در راستای طول کanal‌ها، با افزایش تغییرات سطح تراز آب، تنش برشی و تغییرات آن نیز افزایشی بود. به منظور بحث و تحلیل مناسب‌تر، با استفاده از نرمافزار فلوئنت، نتایج کاربردی شامل؛ توزیع بردارهای سرعت جریان آب در راستای طولی در مقاطع مختلف کanal، و تغییرات تنش برشی در بستر کanal، برای ۳ نمونه آزمایشگاهی مورد مطالعه، شبیه‌سازی و ارائه گردیدند. نتایج حاصل نشان دادند که به طور کلی بیشترین تغییرات سرعت در وسط کanal اصلی در هر مقطع بوده و در راستای طولی نیز از ابتدا به انتهای کanal افزایش داشت، همچنین بیشترین تنش برشی بستر در کanal اصلی نسبت به سیلابدشت‌ها وجود داشته و از ابتدا تا پایان کanal به تدریج روند افزایشی داشت. استفاده از نرمافزارهایی نظریer Fluent که برای تخمین تنش برشی مرسی از معادلات رینولدزی جریان و برای نشان دادن توزیع سرعت جریان در کanal از پروفیل‌های عمومی تغییرات سرعت جریان در هر مقطع بهره می‌برد، در شبیه‌سازی شرایط و خروجی‌های جریان، دارای دقت بسیار بالایی می‌باشد.

اختلاف شدید سرعت و تغییرات تنش برشی بستر بین دو مقطع کanal اصلی و سیلابدشت عملاً بستگی به شکل هندسی مقطع در سری‌های مورد بررسی و پارامترهایی نظری عمق نسبی (رابطه $H_f = \frac{H-h}{H}$) پارامتر عمق نسبی بوده که برابر با نسبت عمق جریان در سیلابدشت به عمق جریان در کanal اصلی است) جریان عبوری دارد. نتایج خروجی از مدل‌ها نشان می‌دهد که عرض لایه برشی (توزیع تنش حد فاصل مرسی جدایش و تقسیم کanal اصلی و سیلابدشت) در مقطع اصلی کanal در هر سه سری کanal‌های مورد بررسی با استفاده از شاخص توزیع تنش برشی (متوسطشده در عمق) نسبت به شاخص سرعت (متوسطگیری شده در عمق)، مقدار بیشتری دارد. از مقایسه نتایج توزیع تنش در عرض کanal در هر سه سری نمونه مورد مطالعه، مشخص گردید که؛ با افزایش نسبت عرض کanal اصلی به عرض سیلابدشت (در سری شماره^(۴))؛ اختلاف زیادتری در مقایسه نتایج محاسبات عددی دو نرمافزار نسبت به نتایج حاصل از مدل آزمایشگاهی ایجاد می‌شود و اصلی‌ترین عامل به وجود آمدن این اختلاف، تغییرات نسبت مذکور می‌باشد.

برای مطالعه و تحقیقات آتی، پیشنهاد می‌گردد که؛ با فرض

آزمایش عملی بهزحمت می‌توان به شرایط ایده‌آل نزدیک شد. لیکن ذکر این نکته حائز اهمیت می‌باشد که، تحلیل عددی مفاهیم یک مدل ریاضی را مورد استفاده قرار می‌دهد. در مقابل، تحلیل آزمایشگاهی خود واقعیت را مورد مشاهده قرار می‌دهد. بنابراین اعتبار مدل ریاضی، مفید بودن یک کار محاسباتی را محدود می‌کند. باید توجه داشت نتیجه نهایی مطالعه‌ای که از تحلیل عددی استفاده می‌کند به مدل ریاضی و نیز به روش عددی بستگی دارد، به طوری که به کاربردن یک مدل ریاضی نامتناسب می‌تواند موجب شود تا یک تکنیک عددی ایده‌آل نتایج بی ارزشی را تولید نماید. در این مقاله، شبیه‌سازی توزیع تنش برشی توسعه ۲ مدل عددی نرمافزارهای Flow-3D و Fluent بر پایه روش SKM انجام گرفت و نتایج حاصل با داده‌های آزمایشگاهی مقایسه گردید. برای بررسی و اعتبارسنجی عملکرد نرمافزار فلوئنت و Flow-3D، تغییرات تنش برشی بستر در نقاط مختلف کanal در راستای مقاطع مقطع عرضی برای مقاطع نمونه‌های مورد مطالعه به صورت محاسباتی بر پایه روش YLM نیز محاسبه گردید. مش محاسباتی که بر اساس مش بهم-چسبیده با یک عنصر شش وجهی ساخته شده بود، قابلیت شبیه‌سازی دقیق توزیع تغییرات تنش برشی بستر و تغییر شکل (وابسته به تغییرات سرعت) در کanal‌های رو باز مرکب را داشت. مشاهده شد که مدل استاندارد $\epsilon - k$ مدل مناسبی برای شبیه‌سازی پدیده تغییر شکل و تغییرات تنش برشی بستر در کanal‌های رو باز مرکب بوده است. همچنین از طرح کوپلینگ فشار-سرعت PISO که بر اساس مرتبه بالاتر رابطه تقریبی بین اصلاحات برای فشار و سرعت است، استفاده شد.

در مقایسه نتایج تحقیق با نتایج سایر محققان باید به این نکته اشاره نمود که مورد مشابه‌ای که مشابه و دقیقاً بر روی همین سری‌ها در فاز A همراه با مدل سازی توزیع تنش برشی و تغییرات سرعت در مقاطع و شبیه‌سازی و مقایسه دو نرم افزار مذکور بر مبنای مکانیزم حل عددی پرداخته باشد در بررسی سایر مطالعات و پژوهش‌های محققین وجود ندارد، ولی می‌توان به مقایسه نتایج سایر محققین نظری مقصودی و همکاران (۲۰۲۲) که در مدل سازی^(۳) بعدی مشخصه‌های توزیع سرعت و تنش فشاری جریان عبوری از روی سرریز با نرم افزار Fluent مش بندی عوجه‌ی انتخاب شده و مدل تعیینی آشفتگی مشابه نتایج این تحقیق، انتخاب مناسب و دقیقی از نتایج خروجی شبیه‌سازی‌ها را ارائه نمود، استناد کرد. در مقاطع مرکب مستقیم (مدلهای بررسی شده در این تحقیق)، مهم‌ترین عوامل اثرگذار بر روی توزیع تنش برشی؛ عمق نسبی جریان، شکل مجرای انتقال، عرض نسبی، و میزان اختلاف ضربی زبری بستر در سیلابدشت نسبت به مقطع اصلی می‌باشند. اختلاف سرعت بین سیلابدشت و کanal اصلی، موج بروز تنش برشی داخلی زیادی بین جریان در این دو مقطع گردیده که خود باعث به وجود آمدن جریان-

- surface in channels with turbulent flow. *Applied Mathematical Modelling.* 38(15-16):3929-3944.
- Maghsoodi, R., Khademalrasoul, A. and Sarkardeh, H. 2022. 3D numerical simulation of dam-break flow over different obstacles in a dry bed. *Water Supply.* 22(4):4015-4029
- Mohanty, P.K. and Khatua, K.K. 2014. Estimation of discharge and its distribution in compound channels. *Journal of Hydrodynamics.* 26(1):144-154.
- Mohanty, P.K., Khatua, K.K. and Patra, K.C. 2011. Investigation on shear layer in compound channels. National Conference Hydraulic and Water Resources Hydro, December 29-30, SVNIT Surat, Surat.
- Naot, D., Nezu, I. and Nakagawa, H. 1993. Hydrodynamic behavior of compound rectangular open channels. *Journal of Hydraulic Engineering.* 119(3):390-408.
- Patel, P.L., Porey, P.D. and Patel, S.B. 2010. Computation of critical tractive stress of scaling sizes in non-uniform sediments. *Journal of Hydraulic Research.* 48(4): 531-537.
- Proust, S. and Nikora, V.I. 2020. Compound open-channel flows: effects of transverse currents on the flow structure. *Journal of Fluid Mechanics.* 885:1-38.
- Sarmiento, O.A. and Falcon, M.A. 2006. Critical bed shear stress for unisize sediment. *Journal of Hydraulic Engineering.* 132(2): 172-179.
- Shiono, K. and Knight, D.W. 1991. Turbulent open-channel flows with variable depth across the channel. *Journal of Fluid Mechanics.* 222: 617-646.
- Singh, P.K., Tang, X. and Rahimi, H. 2020. A Computational Study of Interaction of Main Channel and Floodplain: Open Channel Flows. *Journal of Applied Mathematics and Physics.* 8(11):2526-2539.
- Sofialidis, D. and Prinos, P. 1999. Numerical study of momentum exchange in compound open channel flow. *Journal of Hydraulic Engineering.* 125(2):152-165.
- Tominaga, A. and Nezu, I. 1991. Turbulent structure in compound open-channel flows. *Journal of Hydraulic Engineering.* 117(1): 21-41.
- Wilcox, D.C. 1998. Turbulence modeling for CFD (Vol. 2, pp. 103-217). La Canada, CA: DCW industries.
- Yang, S.Q. 2005. Interactions of boundary shear stress, secondary currents and velocity. *Fluid Dynamics Research.* 36(3):121-136.
- Yang, S.Q. and Lim, S.Y. 2005. Boundary shear stress distributions in trapezoidal channels. *Journal of Hydraulic Research.* 43(1):98-102.
- نئائص معادلات یک و دو بعدی جریان در شبیه‌سازی شرایط جریان در این کانال‌ها، از مدل‌های سه بعدی که بر مبنای معادلات تبادل جرم و مومنتوم (پیوستگی و مومنتوم) نسبت به تغییرات مقطع عرضی به بررسی موضعی متغیرهای تغییر شکل در مقاطع مختلف کانال‌های مرکب می‌پردازند، استفاده شود.
- ### منابع
- ظهیری، ع.، کریمی، م. ر.، مفتاح، م. و دهقانی، ا. ا. ۱۴۰۰. حل عددی توزیع دوبعدی سرعت جریان در مقاطع مرکب مستقیم. نشریه دانش آب و خاک. ۳۱(۳): ۴۷-۶۴.
- گیوه‌چی، م. ۱۳۸۸. برآورد توزیع سرعت متوسط عمقی و تنش برشی کانال‌های باز و کاربرد آن‌ها در تخمین ضریب انتشار طولی. رساله دکتری مهندسی عمران، دانشکده مهندسی، دانشگاه فردوسی مشهد.
- Abril, J.B. and Knight, D.W. 2004. Stage- discharge prediction of rivers in flood applying a depth-averaged model. *Journal of Hydraulic Research.* 42(6):616-629.
- Amel Sadeghi, M., Shafai Bajestan, M. and Saneie, M. 2010. Experimental Investigation on Flow Velocity Variation in Compound Channel with Non-submerged Rigid Vegetation in Flood-Plain. *World Applied Sciences Journal.* 9(12):1398-1402.
- Chang, T.J., Kao, H.M., Chang, K.H. and Hsu, M.H. 2011. Numerical simulation of shallow-water dam break flows in open channels using smoothed particle hydrodynamics. *Journal of Hydrology.* 408(1-2):78-90.
- Ding, S.W., Zeng, C., Zhou, J., Wang, L.L. and Chen, C. 2021. Impact of depth ratio on flow structure and turbulence characteristics of compound open channel flows. *Water Science and Engineering.* 15(3):265-272.
- Hirt, C.W. and Nichols, B.D. 1981. Volume of fluid (VOF) method for the dynamics of free boundaries. *Journal of Computational Physics.* 39(1): 201-225.
- Khodashenas, S.R. 1998. Modification de la topographie dune riviere due au transport des sediments. Ph.D Thesis Ecole Centrale de Lyon, France (In English).
- Khodashenas, S.R., Abderezzak, E.K. and Paquier, A. 2008. Boundary Shear Stress in Open Channel Flow: A Comparison among Six Methods. *Journal of Hydraulic Research.* 46(5):598-609.
- Knotek, S. and Jícha, M. 2014. Modeling of shear stress and pressure acting on small-amplitude wavy

Investigating the Bed Shear Stress Distribution in the Straight Compound Channels Using Numerical Simulation and Comparing the Results of Ansys Fluent and Flow-3D

A. Boostani¹, S.R. Khodashenas^{2*}, K. Esmaili³

Received: Dec.28, 2022

Accepted: Feb.10, 2023

Abstract

The main difference between compound sections and simple sections in channels is due to the velocity difference between the floodplain and the main channel. This velocity change ultimately causes changes in the shear stress distribution of the bed canal. The structure of flow turbulence in compound channels is complex due to the combination of boundary shear stress and Reynolds stress near the interface of the floodplain and the main channel. Due to the fact that the flow hydraulics in rivers, which are considered to be a type of compound channel, depends on their shape and the changes in canal shape are dependent on bed shear stress, determining the distribution of bed shear stress in rivers is also of great importance. In this study, the boundary shear stress distribution in compound channels has been simulated with 2 numerical models of Fluent and Flow-3D software and compared with real experimental data (Wallingford, England), as well as a comparison between the output results of the shear stress distribution in the compound section is also performed based on the YLM method. To verify the accuracy of the simulation results, 3 methods of determining the convergence (error parameter) have been used to compare the computational results with the experimental results. The results showed that there was a very good match between the results of the numerical models and the experimental data, and as a result, both software could calculate the shear stress distribution appropriately. Generally, the numerical results of fluent software were closer to the experimental data compared to Flow 3D software.

Keywords: Ansys Fluent, Compound Channels, Flow-3D, Shear Stress, YLM Method

1-Ph.D. Candidate, Department of Water Science and Engineering, Ferdowsi University of Mashhad, Iran

2-Professor, Department of Water Science and Engineering, Ferdowsi University of Mashhad, Iran

3-Associate Professor, Department of Water Science and Engineering, Ferdowsi University of Mashhad, Iran

(*- Corresponding Author Email: khodashenas@ferdowsi.um.ac.ir)